

# تفسیر توالی پاراژنتیکی نهشته‌های سیلیسی آواری سازند داهو (کامبرین پیشین) در خاور و جنوب خاور زرند کرمان

نوشته: رضا موسوی حرمی<sup>\*</sup>, اسدآ... محبوبی<sup>\*</sup>, علی خردمند<sup>\*\*</sup>, حامد زند مقدم<sup>\*</sup>

<sup>\*</sup>گروه زمین شناسی، دانشکده علوم، دانشگاه فردوسی مشهد، ایران

<sup>\*\*</sup>گروه زمین شناسی، دانشکده علوم، دانشگاه شهید باهنر کرمان، ایران

## Interpretation of Paragenetic Sequence of Siliciclastic Sediments of Dahu Formation (Late Cambrian), in E and SE Zarand, Kerman

By: R. Moussavi-Harami<sup>\*</sup>, A. Mahboubi<sup>\*</sup>, A. Kheradmand<sup>\*\*</sup> & H. Zandmoghadam<sup>\*</sup>

<sup>\*</sup> Department of Geology, Faculty of Science, Ferdowsi University of Mashhad, Iran

<sup>\*\*</sup> Department of Geology, Faculty of Science, Shahid Bahonar University of Kerman, Iran

تاریخ پذیرش ۱۳۸۶/۰۴/۱۴

تاریخ دریافت ۱۳۸۶/۱۲/۱۳

### چکیده

به منظور تفسیر توالی پاراژنتیکی و تاریخچه پس از رسوب‌گذاری نهشته‌های سیلیسی آواری سازند داهو به سن کامبرین پیشین، دو برش داهوئیه (الگو) و گزوئیه به سمترا ۲۴۰ و ۲۲۷ متر به ترتیب در جنوب خاور و خاور زرند، شمال باختر کرمان، مطالعه شده است. فرایندهای دیاژنتیکی شناسایی شده شامل فشردگی، سیمانی شدن، دگرسانی، انحلال و شکستگی‌ها و رگه‌های پر شده است که طی سه مرحله اثرنزن، مزوثرن و تلوژن رسوبات را تحت تأثیر قرار داده‌اند. بررسی کانی‌های رسی در ماسه سنگ‌ها و گلسنگ‌های سازند داهو منجر به شناسایی دو گروه رسی ایلیت و کلریت شده است. ایلیت بیش از ۹۰ درصد از کل کانی‌های رسی را به خود اختصاص داده است که اغلب با افزایش ژرفای تدفین و دیاژنر کانی‌های رسی در طی دگرسانی و انحلال فلدسپار پتانسیم تشکیل شده‌اند. تفسیر توالی پاراژنتیکی نهشته‌های مورد مطالعه نشان می‌دهد که اغلب فرایندهای دیاژنتیکی در مرحله مزوژنیک عمل کرده است، همچون فشردگی فیزیکی و تشکیل سیمان هماتیتی در مرحله اثرنزنیک، و فرایندهایی همچون فشردگی شیمیایی، سیمانی شدن سیلیسی و دولومیتی، دگرسانی فلدسپارها، سریسیتی شدن، ایلیتی شدن و کلریتی شدن و انحلال فلدسپارها و چرت‌ها، در مرحله مزوژنیک روی داده است. همچنین، تشکیل شکستگی‌ها و رگه‌های پر شده با کلسیت در مرحله تلوژنیک و در طی بالا آمدگی رسوبات اتفاق افتاده است. امید است تا این داده‌ها بتواند در تفسیر تاریخچه دفن رسوبات مشابه در مقیاس محلی و ناحیه‌ای مفید واقع شوند.

**کلید واژه‌ها:** سازند داهو، سیلیسی-آواری، دیاژنر، توالی پاراژنتیکی

### Abstract

For interpretation of paragenetic sequence and post depositional history of siliciclastic sediments of Dahu Formation (Late Cambrian), two stratigraphy sections were measured at Dahuieh (type section) and Gazuieh in the NE and E of Zarand, with the thickness of 240 and 227 meters, respectively. The diagenetic processes affected these sediments, during three stages eogenesis, mesogenesis and telogenesis, including compaction, cementation, alteration, dissolution, fracturing and vein filling. Clay mineral study within sandstone and mud rocks of Dahu Formation led to identification of two groups of clay as illite and cholerite. Illite form 90% of clay minerals in these sediments that are mostly formed during burials and clay mineral diagenesis as well as alteration and dissolution of potassium feldspar. The interpreted paragenetic sequence shows that a large number of



diagenetic processes act in the mesogenetic stage. Physical compaction and hematite cement have operated in eogenetic stage, while other processes such as chemical compaction, silica and dolomite cement, feldspar alteration, sericitization, ilitization and chloritization, dissolution of feldspars and cherts have occurred in mesogenetic stage. The fractures and calcite vein filling have formed in telogenetic stage during uplifting. We hope that this information can be used for evaluation of post depositional and burial history of similar sediments in local and regional scale.

**Key words:** Dahu formation, Siliciclastic, Diagenesis, Paragenesis sequence

## ۱- مقدمه

فازهای مختلف سیمان‌شدگی کربنات‌ها استفاده شده است. همچنین شش نمونه سنگی با بیشترین مقدار کانی رسی، برای مطالعات SEM و تجزیه نقطه‌ای EDX انتخاب و مطالعه شدند.

### ۳- سنگ‌نگاری

مطالعات سنگ‌نگاری منجر به تقسیم‌بندی نهشته‌های سازند داهو به سه دسته کنگلومراجی، ماسه‌سنگی و گلسنگی شده است. کنگلومراها که تنها قاعده سازند داهو مشاهده می‌شوند، الیگومیکیک بوده و از قلوه‌های چرتی تشکیل یافته‌اند که در زمینه‌ای ماسه‌ای و سیمان دولومیتی قرار دارند. کوارتز فراوان‌ترین دانه در ماسه سنگ‌ها به شمار می‌آید که اغلب تک‌بلورین بوده و فراوانی آن بین ۹۰ تا ۷۵ درصد در تغییر است. فلدسپارها شامل میکروکلین، ارتوکلاز و پلازیوکلاز هستند و فراوانی آنها بین ۵ تا ۲۳ درصد است. از خرده سنگ‌ها می‌توان به خرده‌های چرت، اسلیت، شیل و به مقدار اندکی خرده‌های آتش‌فشانی اشاره کرد که در مجموع دامنه‌ای بین ۵ تا ۳۴ درصد را در بر می‌گیرند، اما اغلب فراوانی در حدود ۱۴ درصد را نشان می‌دهند. کانی‌های فرعی ماسه سنگ‌ها شامل مسکوویت، هماتیت، زیرکن، آپاتیت و تورمالین هستند. بنابراین اغلب ماسه سنگ‌های سازند داهو از درخساره‌سنگی ساب‌آرکوز و ساب‌لیت آرنايت تشکیل شده‌اند که از ویژگی‌های اصلی این رخساره‌های سنگی می‌توان به میزان بالای رس در آنها اشاره کرد، به طوری که در مواردی، مقدار آن به ۳۵ درصد از کل سنگ نیز می‌رسد.

### ۴- فرایندهای دیاژنتیکی

به طور کلی فرایندهای دیاژنر به دو صورت فیزیکی و شیمیایی رسوبات را تحت تأثیر قرار می‌دهد. دیاژنر فیزیکی، حاصل فشار و وزن لایه‌های جوان‌تر رویی و نیز فشارهای زمین‌ساختی است که خروج آب‌های منفذی و آرایش دوباره ذرات را دنبال خواهد داشت و دیاژنر شیمیایی سبب انحلال و تبلور دوباره کانی‌های اولیه به علاوه سیمانی شدن است (Sanyal et al., 2005)

دیاژنر طیف گسترده‌ای از فرایندهای فیزیکی، شیمیایی و زیست‌شناختی پس از رسوب‌گذاری را شامل می‌شود که در آن، رسوبات اولیه با آب‌های منفذی در حوضه رسوبی واکنش داده تا به یک تعادل باقی و زمین‌شیمیایی پایدار با محیط دست یابند (Schmid et al., 2004). این فرایندها در شرایط فشار، دما و ترکیب شیمیایی در طی رسوب‌گذاری، تدفین و فرآخته حوضه تکامل می‌یابند که می‌توان آنها را در سه مرحله اثرزن، مزوزن و تلوزن دنبال کرد. هدف از این تحقیق، شناسایی فرایندهای دیاژنری و تفسیر توالی پاراژنتیکی رسوبات سیلیسی-آواری سازند داهو به سن کامبرین پیشین است تا بتواند به بازسازی تاریخچه پس از رسوب‌گذاری این نهشته‌ها و نهشته‌های هم‌ارز کمک کند. به این منظور، دو برش داهوئی (الگو) در ۲۰ کیلومتری جنوب خاور و گزوئی در ۵ کیلومتری خاور زرند در ۷۵ کیلومتری شمال باخته کرمان مطالعه شده (شکل ۱) و سه برگشته این برش‌ها به ترتیب ۲۴۰ و ۲۲۷ متر اندازه‌گیری شده است. تحلیل رخساره‌های سنگی و عناصر ساختاری سبب شناسایی ۹ رخساره سنگی (Gcm, Sp, St, Sh, Sl, Sr, Sm, Fl) و ۵ عنصر ساختاری (CH, LA, FF, CR, CS) شده است که نشان دهنده رسوب‌گذاری در محیط‌های رودخانه‌ای از نوع روධیچی (میاندری) با بستر ماسه‌ای است (موسوی حرمی و همکاران، زیر چاپ).

## ۲- روش کار

پس از اندازه‌گیری برش‌ها، ۱۶۰ نمونه به صورت سیکلی برداشت و از این تعداد ۱۰۰ مقطع نازک میکروسکوپی تهیه شده است. مطالعه مقاطع نازک توسط میکروسکوپ پلاریزان انجام گرفته و شمارش دانه‌ها در ماسه سنگ‌ها توسط دستگاه شمارنده نقاط و به روش گزی - دیکنسون (Ingersoll et al., 1984) انجام شده است. پس از مطالعات سنگ‌نگاری، رنگ آمیزی مقاطع توسط آلیزارین سرخ و مخلوط آلیزارین سرخ و فروسیانید پتابسیم به روش دیکنسون (Dickson, 1966) برای تشخیص سیمان‌های کربناتی انجام شده است. از مطالعه کاتودولومینسانس (CL) نیز برای بررسی



نوع اول استیلویلت هایی هستند که به موازات لایه بندی شکل گرفته و نوع دوم شامل استیلویلت هایی می شود که در خلاف جهت لایه بندی تشکیل شده اند که به ترتیب به علت فشارهای حاصل از تدفین و فشارهای زمین ساختی حاصل شده اند. استیلویلت ها در ماسه سنگ های داهو از نوع دوم هستند که بر اثر فشارهای زمین ساختی به وجود آمده و به احتمال در مراحل نهایی دیاژنر توسط اکسید آهن پر شده اند.

#### ۲-۴ - سیمانی شدن (Cementation)

سیمانی شدن در اثر ته نشینی از سیال های خارجی ابر سیر شده (فوق اشباع) می تواند از محیط هایی با سنگ میزبان متفاوت و یا محیطی با دما و فشار متفاوت سرچشم میگردد. در سایر موارد، به سامانه دیاژنیکی دانه و سیال وابسته بوده که همراه با انحلال محلی و ته نشینی دوباره در یک محیط آبدار می باشد (Kay et al., 2006). سیمان هایی که در سنگ های مورد مطالعه (کنگلومرا و ماسه سنگ ها) شناسایی شده اند به صورت زیر می باشند:

سیمان سیلیسی (Silica Cement) : در ماسه سنگ های مورد مطالعه این سیمان به صورت رورشی (over growth) بر روی برخی از دانه های کوارتز مشاهده می شود که با دانه های اصلی دارای پیوستگی نوری است (شکل ۲-ج). مرز بین سیمان و دانه توسط لایه نازک و سرخ رنگی از همایت و رس مشخص است. علاوه بر این سیمان سیلیسی به طور پر کننده حفره ها نیز وجود دارد (شکل ۲-ج). به عقیده (Schmid et al. 2004) بیشترین سیمان شدن سیلیسی در دمای ۱۲۵ تا ۱۳۰ درجه سانتی گراد رخ می دهد. سیمان های سیلیسی در مقاطع مورد مطالعه چندان زیاد نیستند و اغلب در افق های بالایی بر شکریه شناسایی شده اند. این امر می تواند به علت آهنگ رسویگذاری بالا که سبب افزایش فشردگی می شود، باشد که در طی آن فضاهای خالی برای ته نشینی سیمان سیلیسی از بین می رود (Kim et al., 2007). بررسی منشأ سیلیس از موارد مهم در این نوع از سیمان شدگی قلمداد می شود. McBride (1989) در مورد انواع منشأ سیلیس بحث کرده است. ایشان مهم ترین منشأ را انحلال فشارشی می دانند. انحلال فشارشی ذرات کوارتز در فصل مشترک شیل - ماسه سنگ و نیز شیل های ماسه ای - سیلیتی فرایندی متداول و احتمالی برای منشأ سیلیس به شمار می آید (Molennar et al., 2006)، که در مورد ماسه سنگ های سازند داهو نیز وجود دارد ولی این فرایند نمی تواند به عنوان مهم ترین منشأ تأمین کننده سیلیس در ماسه سنگ های مورد مطالعه به شمار رود. به نظر می رسد که مهم ترین منشأ سیلیس می تواند از انحلال ذرات سیلیسی همچون چرت ها، انحلال و دگرسانی فلدوپارها سرچشم میگردد. به آثار آن به فراوانی در ماسه سنگ های مورد مطالعه دیده می شود

که در نهشته های داهو شناسایی شده اند. ترکیب و بافت رسوب، تاریخچه دفن همراه با شیمی آب های منفذی در حوضه رسویگذاری، مهم ترین عوامل تأثیرگذار در دیاژنر به شمار می آیند (Kim et al., 2007). همچنین سن رسوبات و شکل هندسی لایه ها، اقلیم و محیط رسوبی (Tucker, 2001; Parcerisa et al., 2006) و رخسارهای سنگی (Molennar et al., 2006) نیز نقش بسزایی در دیاژنر دارند. در این قسمت، فرایندهای دیاژنر مؤثر بر سنگ های سازند داهو که در مقاطع مورد مطالعه شناسایی شده است، بررسی می شود.

#### ۱-۴ - فشردگی (Compaction)

فرایندهای فشردگی به دو شکل فیزیکی و شیمیایی سنگ های سازند داهو را تحت تأثیر قرار داده است.

**فشردگی فیزیکی:** فشردگی فیزیکی سبب خروج آب، چرخش و خرد شدن دانه ها و سرانجام تراکم ذرات ضعیف می شود که همگی منجر به کاهش تخلخل و آرایش متراکم سنگ می شود (Mork & Moen, 2007) و اثرات این فشردگی در سنگ های مورد مطالعه به صورت تماس نقطه ای و مماسی بین دانه ها است (شکل ۲-الف). فشردگی در اثر فشار لایه های بالایی، باعث ایجاد شکستگی موضعی و خم شدن در دانه های نرم (همچون مسکوکویت)، در ماسه سنگ های سازند داهو شده است (شکل ۲-ب).

**فشردگی شیمیایی:** فشردگی شیمیایی شامل انحلال، انتقال و تمرکز عناصر است (Mork and Moen, 2007). از مسائل مهم در فشردگی شیمیایی، انحلال فشارشی (pressure solution) است. این انحلال در مرز بین دانه ها، جایی که دانه ها در تماس با یکدیگرند رخ می دهد و سبب ایجاد تماس مضرس و محدب - مقعر می شود (شکل ۲-پ و ت). این فرایند ممکن است در ژرفای زیاد ۲/۵ تا ۳/۵ کیلومتری و در دمای ۹۰ درجه سانتی گراد صورت گیرد و سبب کاهش تخلخل شود (McBride, 1989; Schmid et al., 2004). به نظر می رسد که در مقاطع مورد مطالعه به علت زمینه فراوان، انحلال فشارشی کمتر ایجاد شده باشد، اما به طور پراکنده و در نقاطی که مقدار زمینه کمتر است، به وضوح قابل تشخیص است. مرزهای محدب - مقعر و مضرس بیانگر انحلال فشارشی هستند که در نوع اول انحلال به صورت جزئی است (Bernet et al., 2007). استیلویلتی شدن نیز از فرایندهای شیمیایی دیاژنر است که بر اثر فشردگی و پس از انحلال فشارشی حاصل می شود. عوامل متعددی در تشکیل استیلویلت ها مؤثر هستند که شامل دما، فشار، ترکیب ماسه سنگ و کانی شناسی استیلویلت می شوند (Baron & Parnell., 2007). استیلویلت ها در مقاطع مورد مطالعه، بیشتر توسط اکسید آهن پر شده اند (شکل ۲-ث).

استیلویلت ها را به دو دسته تقسیم می کنند. Baron and Parnell (2007)



از مهم‌ترین سیمان‌ها در نهشته‌های سرخ رنگ به شمار می‌روند که در اصل رنگ سرخ آنها نیز به این سیمان نسبت داده می‌شود. وجود این سیمان بازتاب کننده اقلیم نیمه خشک و شرایط اکسیدی است (Jimens-Espinosa & Jimens-Milla, 2003; Reed et al., 2005) که در مورد سازند داهو نیز صادق است. سیمان اکسید آهن در مقاطع مورد مطالعه تقریباً بین تمام دانه‌ها وجود دارد. در اطراف بیشتر دانه‌های کوارتز، لایه نازکی از هماتیت مشاهده می‌شود (شکل ۲-خ) که در بعضی نقاط، مرز بین سیمان رورشی و دانه را متمایز می‌کند (شکل ۲-ج). همان‌طور که ذکر شد، در بعضی قسمت‌ها این سیمان به صورت تداخلی و بی‌شکل همراه با سیمان دولومیتی دیده می‌شود (شکل ۲-ج). حضور سیمان هماتیتی در اطراف سیمان دولومیتی بازتاب کننده تشکیل قسمتی از این سیمان در مرحله دیاژنر دفني و یا بالا آمدگی رسوبات است (Reed et al., 2005).

منشأ آهن در نهشته‌های داهو می‌توانسته است هم به صورت آواری و هم دیاژنتیکی باشد. شواهد هر دو مورد در مقاطع مورد مطالعه وجود دارد به گونه‌ای که فراوانی دانه‌های گرد شده هماتیت می‌توانسته است از هوازدگی افق‌های لاتریتی و سازندهای آهن‌دار آرکئن سرچشمه گرفته باشد. هوازدگی سنگ‌های رسوبی و آذرین در ناحیه منشأ سبب آزاد شدن یون آهن و حمل آن به محیط رسوبگذاری می‌شود (برای مثال، Moussavi-Harami and Brenner, 1993) در آب‌های بین ذره‌ای قرار گرفته و در شرایط اکسیدی این سیمان تشکیل می‌شود. جذب آهن توسط رس‌ها و سپس آزاد شدن آنها در اثر آبکافت (هیدرولیز) و همچنین تعزیه کانی‌های فرومینزیم نیز باعث آزاد شدن آهن در طی فرایند دیاژنر می‌شود (Tucker, 2001).

سیمان رسی (Clay Cement): کانی‌های رسی در جازاد (اتوزن) به صورت سیمان پرکننده حفره‌ها و پوشش‌های رسی در اطراف دانه‌ها یافت می‌شوند (شکل ۶-الف و ب). مطالعات SEM و EDX کانی‌های رسی نشان داده است که اغلب این رس‌ها به گروه ایلیت تعلق دارند. همچنین مقدار اندک و پراکنده‌ای کلریت نیز مشخص است. ایلیت و کلریت متداول‌ترین کانی‌های رسی در ماسه سنگ‌ها به شمار می‌روند و اغلب منشأ دیاژنر تأخیری دارند (Tucker, 2001; Sanyal et al., 2005; Al-Ramadan et al., 2004; Kim et al., 2007; Wolela & Gierlowski-Kordish, 2007). به علت فراوانی و اهمیت کانی‌های رسی در نهشته‌های سیلیسی آواری سازند داهو، این کانی‌ها به طور جداگانه بحث می‌شوند.

#### ۳-۴ - دگرسانی و انحلال (Alteration and Dissolution)

فرایند دگرسانی اغلب در طی دیاژنر دفني صورت می‌گیرد

(شکل ۵-ب و پ). علاوه بر این، فراوانی کانی‌های رسی و تبدیل آنها به یکدیگر (برای مثال، تبدیل اسماکتیت و کائولینیت به ایلیت)، به طور قابل توجهی سیلیس (Wordon and Morad, 2000; Schmid et al., 2004) تولید می‌کند (شکل ۶-ج). رنگ آمیزی مقاطع نازک سیمان کربناتی (Carbonate Cement): یکی دیگر از سیمان‌های موجود در مقاطع مورد مطالعه، سیمان کربناتی است که به صورت لکه‌ای در متن ماسه‌سنگ‌ها پراکنده شده‌اند (شکل ۶-ج). رنگ آمیزی مقاطع نازک توسط آلیزارین سرخ و مخلوط آلیزارین سرخ و فرو سیانید پتانسیم مشخص کرد که این سیمان از نوع دولومیت بدون آهن است. در ماسه‌سنگ‌های سازند داهو سیمان دولومیتی اغلب به طور تداخلی با سیمان هماتیتی وجود دارد ولی در کنگلومراها به صورت یکنواخت بین دانه‌ها را فرا گرفته است (شکل ۶-ج). این امر می‌تواند ناشی از فقدان ذرات ناپایدار و رس در بین قلوه‌ها و فضای بین حفره‌های بزرگ‌تر باشد. به عبارت دیگر الیگومیکیک بودن کنگلومراهای قاعده سازند داهو باعث شده است که حجم وسیعی از سیمان دولومیتی بین دانه‌ها را فرا گیرد. در مطالعات سنگ‌نگاری توسط میکروسکوپ پلاریزان، آثاری از کلسیت در بین دانه‌ها مشاهده نشده است اما در تصاویر SEM و تجزیه EDX می‌توان خرددهایی از بلورهای کلسیت را تشخیص داد (شکل ۳). بنابراین سیمان دولومیتی اغلب از جانشینی کلسیت حاصل شده است. جانشینی دولومیت ممکن است همزمان با رسوبگذاری و در طی دیاژنر اولیه و یا پس از رسوبگذاری به هنگام تدفین رسوبات انجام گیرد (Hood et al., 2004). مطالعات کاتودولومینسانس (CL) بازگو کننده چندین فاز تشکیل سیمان دولومیتی است (شکل ۶-ج). با توجه به نبود یون آهن در دولومیت‌ها، خاصیت لومینسانس اغلب به حضور یون منگنز مربوط می‌شود (Hemming et al., 1989). با این وجود، احتمال شکل گرفتن دولومیت‌ها به صورت اولیه نیز هست که در این صورت، دولومیت‌ها در حدواتسط محیط‌های قاره‌ای و دریابی تشکیل شده است (برای مثال، Kim et al., 2007) و سپس بر اثر تبلور دوباره به دولومیت‌های ثانویه تبدیل شده‌اند. محلول‌های منیزیم داری که سبب اشباع شدن سیالهای از یون منیزیم شده است می‌توانسته از نهشته‌های مجاور (دولومیت‌های سازند دزو و کوهبنان) تأمین شده باشد. بنابراین فشردگی به همراه انحلال کربنات‌ها توسط آب‌های جوی در نهشته‌های کربناتی، می‌تواند محلول‌های غنی از کربنات را به محل دیگری حمل کرده و باعث تشکیل این سیمان شود (Tucker & Wright, 1991). همچنین تبدیل رس‌ها به یکدیگر (اسماکتیت به ایلیت) نیز سبب سیر شدگی سیال منفذی از یون منیزیم می‌شوند (Reed et al., 2005)، که ممکن است تأمین کننده این عنصر برای تشکیل دولومیت باشد.

اکسید آهن به عنوان سیمان (Fe oxide Cement): سیمان هماتیتی



هستند که به طور پراکنده، مقادیر اندکی کلریت نیز شناسایی شده است. تشکیل ایلیت اغلب به فرایندهای دیاژنزی از قبیل ایلیتی شدن کانی های رسی اولیه مربوط می شود. کانی های رسی در ماسه سنگ های مورد مطالعه را می توان در سه گروه زیر تقسیم بندی کرد:

رس های زمینه ای (matrix clay): این رس ها بر اثر هوازدگی سنگ های ناحیه منشأ تشکیل می شوند و سپس توسط عامل حمل در بین ماسه ها قرار گرفته اند. از ویژگی های اصلی این رس ها در تصاویر SEM نامنظم قرار گرفتن آنها در بین دانه های اصلی است (شکل ۷).

رس های تراوشی (infiltrated clay): این رس ها در اغلب ماسه سنگ های دانه پشتیبان وجود دارند که در مقاطع نازک و تصاویر SEM به صورت پوشش های مماس بر سطح دانه ها ظاهر می شوند (شکل ۶-الف و پ). ذرات تشکیل دهنده آنها اغلب به موازات سطح دانه جهت یافته شده اند.

رس های درجا زا (authigenic clay): این رس ها به طور درجا زاد، در فضاهای خالی ماسه سنگ ها تشکیل می شوند. این کانی ها در اثر برهم کنش آب و رسوب از یون هایی اشباع شده و سپس به صورت کانی های درجا زاد تمثیل می شوند. از ویژگی های اصلی این رس هامی توان به شکل وجه دار و ترکیب یکنواخت (همگن) آنها اشاره کرد (Hathon and Houseknecht, 1992) (شکل های ۹ و ۸).

ساختار های ریز کانی های رسی در تصاویر SEM و تجزیه های نقطه ای EDX نشان می دهد که هر سه گروه نامبرده، از کانی های رسی ایلیت و کلریت تشکیل شده اند. ایلیت هم به صورت ذرات آواری از منشأ سرچشمه گرفته (رس زمینه ای) و هم به طور درجا زاد تشکیل شده است. از ویژگی های اصلی ایلیت در تجزیه های EDX فراوانی بالای یون پتاسیم نسبت به دیگر عنصر است (Welton, 1984). با توجه به سن بالای این رسوبات به نظر می رسد که مهم ترین فرایند تشکیل ایلیت مربوط به دیاژنز ماسه سنگ ها است. این کانی، اغلب طی دیاژنز نهایی از دگرسانی و انحلال کانی های دیگر حاصل می شوند. مهم ترین عامل تأثیر گذار در دیاژنز کانی های رسی افزایش فشار و دما است (Lanson et al., 2002; Cuadros, 2006; Kim et al., 2007).

همچنین عامل زمان نیز نقش بسزایی دارد به گونه ای که هر چه زمان زمین شناسی بیشتر شود، شرایط تشکیل ایلیت و کلریت فراهم می شود. بنابراین کانی های رسی ساختار در پر کامبرین و پالئوزوییک زیرین به طور عمدۀ ایلیت و کلریت هستند (Tucker, 2001)، که در مورد نهشته های سازند داهو به سن کامبرین پیشین نیز صادق است. ایلیت طی فرایند ایلیتی شدن می تواند از کانی های فلدوپار پتاسیم، کائولینیت- دیکیت و اسمکتیت حاصل شود اسماکتیت در تصاویر SEM مشاهده نشده است اما دگرسانی و انحلال فلدوپار پتاسیم به فراوانی در مقاطع نازک و تصاویر SEM به چشم می خورد (شکل

Worden and Morad, 2000). دگرسانی فلدوپارها رایج ترین دگرسانی در ماسه سنگ های داهو است (شکل ۵-الف) که ترجیحاً در امتداد شکستگی های کوچک (Microfractures)، رخ ها و سطوح تماس ذرات رخ داده است. شکستگی های کوچک در فلدوپارها در فرایند فشردگی گسترش می یابد، لذا سیال منفذی به آسانی از این شکستگی ها و رخ ها عبور کرده و دگرسانی فلدوپارها را سبب می شوند (Kim et al., 2007). همچنین وجود پوشش های رسی در بین ذرات، تخلخل و نفوذپذیری اولیه را حفظ می کند که در نتیجه آن سیال ها به آسانی در بین دانه ها حرکت کرده و باعث افزایش دگرسانی دانه های ناپایدار می شود (Al-Ramadan et al., 2004).

سریسیتی شدن فلدوپارها یکی از فرایندهای دگرسانی در ماسه سنگ های مورد مطالعه به شمار می رود که اغلب در غلظت های بالای یون پتاسیم نسبت به سیلیس رخ می دهد (Reed et al., 2005; Weber and Ricken, 2005). دگرسانی فلدوپارها به طور عمده در طی دفن و پیش از تشکیل سیمان سیلیسی و در دمای ۹۰ تا ۱۵۰ درجه سانتی گراد رخ می دهد (Reed et al., 2005).

لازم به ذکر است که فرایند دگرسانی می تواند در ناحیه منشأ نیز صورت گیرد که ارتباطی با فرایندهای دیاژنتیکی حوضه رسوبی ندارد (Bernet et al., 2007). فرایندهای ایلیتی شدن و کلریتی شدن از دیگر فرایندهای دگرسانی در نهشته های سازند داهو به شمار می آید که در مبحث کانی های رسی بحث خواهد شد. با افزایش ژرفای تدفین و بالا رفتن دما، کانی ها از مرحله دگرسانی به مرحله انحلال رسیده و حل می شوند. انحلال چرت ها و فلدوپارها و جانشینی کریبات (شکل ۵-ب و پ)، شواهدی دیگر از فرایندهای انحلال در نهشته های داهو است که در دما و pH بالا (۹ تا ۱۰) صورت گرفته است (Morad et al., 2000).

#### ۴-۴- شکستگی ها و رگه های کلسیتی (Calcitic Veins)

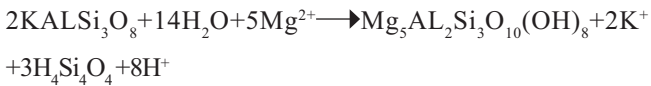
در مراحل نهایی دیاژنز به علت فعالیت های زمین ساختی رسوبات چن خورد و بالا می آیند، بنابراین شکستگی هایی در ماسه سنگ ها شکل گرفته که بعداً توسط سایر کانی های دیگر پر می شوند (Cook et al., 2006). برخی از این شکستگی ها توسط رگه هایی از کلسیت سفید رنگ پر شده اند. تشکیل این رگه ها در مراحل نهایی دیاژنز و بعد از سنگ شدگی کامل می شود. این شکستگی ها در مقیاس صحرایی نیز قابل دیدن هستند (شکل ۵-ث). یون کلسیم برای تشکیل این رگه ها به احتمال از انحلال سازند های آهکی مجاور که تحت تأثیر آبهای جوی قرار گرفته اند، تأمین شده است.

#### ۵- کانی های رسی (Clay minerals)

در ماسه سنگ های سازند داهو بیش از ۹۰ درصد کانی های رسی از نوع ایلیت



زمانی بیشتر می شود که غلظت پتاسیم ثابت باشد. در این موقع، ته نشینی ایلیت تنها در pH بالا صورت می گیرد (Bauer et al., 1998). تبدیل اسماکتیت به ایلیت نیز هنگام فرایند ایلیتی شدن رخ می دهد. این فرایند نیز با افزایش تدفین و دما انجام می شود و در پی آن سیلیس، آب و کاتیون  $K^+$  آزاد می شود (Cuadros, 2006). لازم به ذکر است که سازوکار دقیق تبدیل اسماکتیت به ایلیت دقیقاً مشخص نیست. همان طور که گفته شد، کلریت نیز به مقدار اندکی در ماسه سنگ های سازند داهو شناسایی شده است. این کانی در تصاویر SEM به شکل بلورهای گل سرخی (rosettes) یا هگزاگونال دروغین مشاهده می شوند (شکل ۱۰). تجزیه نقطه ای EDX این نمونه ها بازتاب کننده نزدیک بودن چندربیخت این کانی به چندربیخت های ایلیت است. که این امر به علت حضور عنصر پتاسیم به همراه منزیم است. به نظر می رسد کانی کلریت در ماسه سنگ های سازند داهو نیز اغلب از اتحال و دگرسانی بلورهای پتاسیم دار تشکیل شده اند (Moraes & De Ros, 1992). این واکنش به صورت زیر انجام می گیرد:



همچنین یون های لازم برای تشکیل کلریت نیز در طی دفن ژرف ماسه سنگ ها می تواند از میکاهای آواری تأمین شده باشد (Kim et al., 2007)، که در ماسه سنگ های مورد مطالعه نیز صادق است.

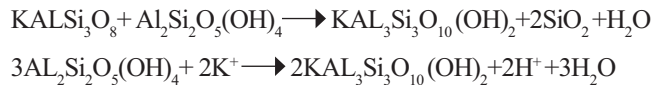
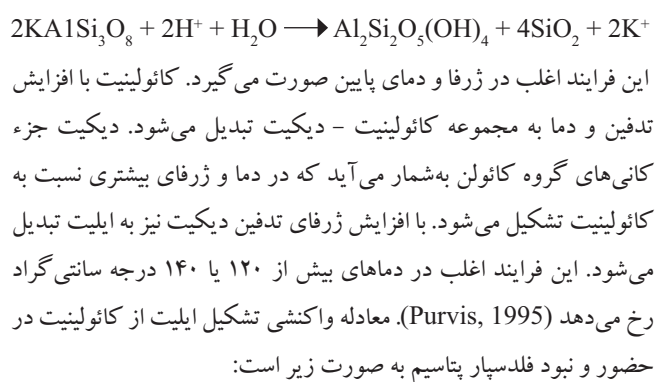
## ۶- توالی پاراژنتیکی (Sequence Paragenetic)

همان طور که پیش تر ذکر شد، رویدادهای پاراژنتیکی را می توان در سه مرحله ائوژن، مزوژن و تلوژن، دنبال کرد (جدول ۱). در مراحل ائوژن و تلوژن، رسوبات در معرض آب و هوا قرار دارند و رژیم هیدرولیکی جوی نقش بسزایی در فرایندهای دیاژنتیکی دارد اما در مرحله مزوژن، رژیم آب شناختی غالب از نوع فشارشی است (Einsele, 2000; Mansurbeg et al., 2007). روند دیاژنری در ماسه سنگ ها به عوامل مختلف بستگی دارد که این عوامل به ترتیب شامل محیط رسوبگذاری، ترکیب و بافت رسوب، شیمی آب درون حفره ها، وضعیت زمین ساختی حوضه، ژرفای دفن و زمان فرآخت است (Mansurbeg et al., 2007).

## ۶-۱- مرحله ائوژن (Eogenesis Stage)

در مرحله ائوژن یا ائوژنتیک، محیط دیاژنتیکی نزدیک سطح زمین واقع شده و فرایندهای مرتبط با آن اتفاق می افتد. به طور معمول در این مرحله دما کمتر از ۷۰ درجه سانتی گراد و ژرفای تدفین کمتر از ۲ کیلومتر است (Morad et al., 2000; Mansurbeg et al., 2007).

۶-۲- مرحله کلریت (Chlorite Stage). در اصل در طی دگرسانی فلدسپار پتاسیم، کائولینیت به وجود می آید که بعداً با افزایش ژرفای دما به ایلیت تبدیل می شوند. کائولینیت همچنین از دگرسانی میکای آواری نیز تشکیل می شود (Osborne et al., 1994)، (شکل ۶-۳). فرایند تشکیل کائولینیت عموماً به صورت زیر است:



در واکنش دوم، یون پتاسیم باید از سیال های خارجی تأمین شود. همان طور که در واکنش تشکیل ایلیت در حضور فلدسپار پتاسیم مشاهده می شود، اتحال فلدسپار در دو مرحله صورت می گیرد. در اوین مرحله کائولینیت و در مرحله بعدی ایلیت به وجود می آید. لذا با توجه به آثار اتحال و تشکیل ایلیت در سطوح رخ فلدسپارهای پتاسیم (شکل ۶-۲)، به احتمال زیاد کانی های ایلیت از تبدیل کائولینیت و در حضور فلدسپار پتاسیم حاصل شده اند (برای مثال، Sanyal et al., 2005) که اندازه بلورهای ایلیت با دما تغییر می کند به گونه ای که ابتدا بلورهای رشتہ ای و کشیده و در دماهای بالاتر به فرم الاری (-lath-) مشاهده می شوند. بلورهای هگزاگونال ایلیت نیز اغلب در ژرفای پیشتر از ۴۰۰ متر تشکیل می شود (Lanson et al., 1996). بنابراین، با توجه به شکل بلورهای ایلیت در ماسه سنگ های سازند داهو (اغلب هگزاگونال و الاری)، نتیجه می شود که بیشتر ایلیت ها در طی فشار و دمای بالا تشکیل شده اند (شکل ۹). اگرچه رابطه مستقیمی بین دما و فشار با شدت ایلیتی شدن وجود دارد، اما در این میان بین هنجرهای هایی نیز وجود دارد. به گونه ای که مطالعات (Ehrenberg et al. 1993) تا ۴۰۰ متری کائولینیت هنوز باقی مانده است. بنابراین علاوه بر دما و فشار عوامل دیگری نیز در تشکیل ایلیت مؤثر است که نیاز به مطالعات بیشتر دارد. در واکنش های تشکیل ایلیت، آب نقش بسزایی دارد. این آب اغلب دارای منشأ جوی است (Platt, 1993). گسل خوردگی و شکستگی ها در هنگام فرآخت رسوبات سبب می شود که آب جوی به فضای خالی نفوذ کرده و باعث تجزیه فلدسپارها و سایر کانی ها شود. همچنین تغییرات pH کوچک pH می خواهد در هر شرایطی می تواند در ایلیتی شدن تأثیر گذار باشد. تأثیر pH



، تشکیل دولومیت‌ها مربوط به مراحل تدفین زیاد ماسه سنگ‌ها است به گونه‌ای که از طریق آب‌های منفذی و نیز جانشینی در کلسیت و دولومیت‌های آهن‌دار و بدون آهن مرحله اتوژنر، به وجود می‌آیند. این فرایند به طور معمول پیش از اتحال صورت می‌گیرد. از طرفی اتحال چرت‌ها و فلدسپارها و جانشینی دولومیت در آنها در زرفای دفن و دمای بهنسیت بالا صورت می‌گیرد. بنابراین، آچه مسلم است این که سیمان دولومیتی ماسه سنگ‌های داهو در طی چندین فاز (تصاویر CL) و اغلب در مراحل تدفین به نسبت بالای رسوبات، در مرحله مزوژنز به وجود آمده است. سیال‌های غنی از یون منیزیم می‌توانسته از نهشته‌های زیرین داهو (دولومیت‌های سازند دزو) تأمین شده و در اثر بالاتر بودن فشار سیال‌های درون حفره‌ای نسبت به فشار لایه‌های رویی (فشار لیتواستاتیک)، این سیال‌های سمت بالا حرکت کرده و باعث دولومیتی شدن سیمان‌های کربناتی بین دانه‌ها شده‌اند. علاوه بر سیمان‌های سیلیسی و دولومیتی، بخشی از سیمان‌های اکسید آهن که به طور متناوب با سیمان‌های دولومیتی قرار گرفته‌اند، نیز در این مرحله تشکیل شده‌اند. از فرایندهای دیگر این مرحله می‌توان به سریستی شدن، کلریتی شدن و ایلیتی شدن اشاره کرد که به ترتیب با افزایش دما و زرفای تدفین رسوبات تشکیل شده‌اند. این کانی‌ها از دگرسانی و تجزیه فلدسپارهای پتابیم دار، رس‌های زمینه‌ای اولیه و خرده‌های آتش‌شکنی و دگرگونی تشکیل شده‌اند. بنابراین دگرسانی فلدسپارها و اتحال چرت‌های ناپایدار در این مرحله انجام شده است (برای مثال، Al-Ramadan et al., 2004; Reed et al., 2005; Kim et al, 2007 به گونه‌ای که این کانی‌ها در مجاورت با آب‌های تراکمی دچار دگرسانی و اتحال می‌شوند.

### ۳- مرحله تلوژنر (Telogenesis Stage)

در مرحله تلوژنر که آخرین مرحله از رویدادهای دیاژنتیکی به شمار می‌آید، سنگ‌ها بالا آمده و شکستگی در آنها ایجاد می‌شود. این شکستگی‌ها می‌توانند توسط کانی‌های مختلفی که در شرایط آب و هوایی خاصی به وجود می‌آیند، پر شوند. رگه‌های کلسیتی در نهشته‌های سرخ رنگ سازند داهو از این موارد است که کلسیت پرکننده حفره‌ها توسعه آب‌های درون حفره‌ای و در مراحل اولیه فرآخت است و یا در نزدیکی سطح زمین و تحت تأثیر آب‌های جوی حاصل شده‌اند (Weber and Ricken, 2005).

به طور کلی رویدادهای دیاژنتیکی در مرحله اتوژنر و تلوژنر به طور مستقیم تحت تأثیر آب و هوا هستند (Mansurbeg et al., 2007). بنابراین به وجود آمدن شرایط اکسیدی و تشکیل لایه‌های سرخ رنگ داهو می‌تواند در مرحله تلوژنر نیز اتفاق افتاده باشد.

### ۷- نتیجه گیری

مطالعه فرایندهای دیاژنتیکی و تفسیر توالی پاراژنتیکی نهشته‌های سیلیسی آواری سازند داهو نشان می‌دهد که فرایندهای دیاژنری شامل فشردگی،

هوا و ترکیب اجزای تشکیل دهنده دو عامل اصلی در عملکرد فرایندهای دیاژنتیکی این مرحله به شمار می‌آیند. تشکیل لایه‌های سرخ که به طور شاخص مربوط به مناطق نیمه خشک هستند را می‌توان در این مرحله متصور شد (Reed et al., 2005). آهن موجود می‌توانسته است از هوازدگی کانی‌های مافیک در ناحیه منشأ و یا در اثر آبکافت رس‌ها آزاد شده باشد که ابتدا به شکل اکسید آهن آبدار و سپس هماتیت مشاهده می‌شود بازتاب کننده میزان فشردگی باشد به گونه‌ای که همبrij های نقطه‌ای، مماسی و طولی و همچنین خمیدگی میکاها در فشارهای پایین و در مراحل اولیه دیاژنر به وقوع می‌پوندد. سیمان سیلیسی در مراحل اولیه دیاژنر به مقدار اندکی تشکیل می‌شود زیرا غلظت سیلیس در آب‌های جوی به مقداری نیست که سیمان سیلیسی شکل گیرد (McBride, 1989). اما سیمان به صورت اکسید آهن به طور عموم در مرحله اولیه دیاژنر تشکیل می‌شود (Tucker, 2001).

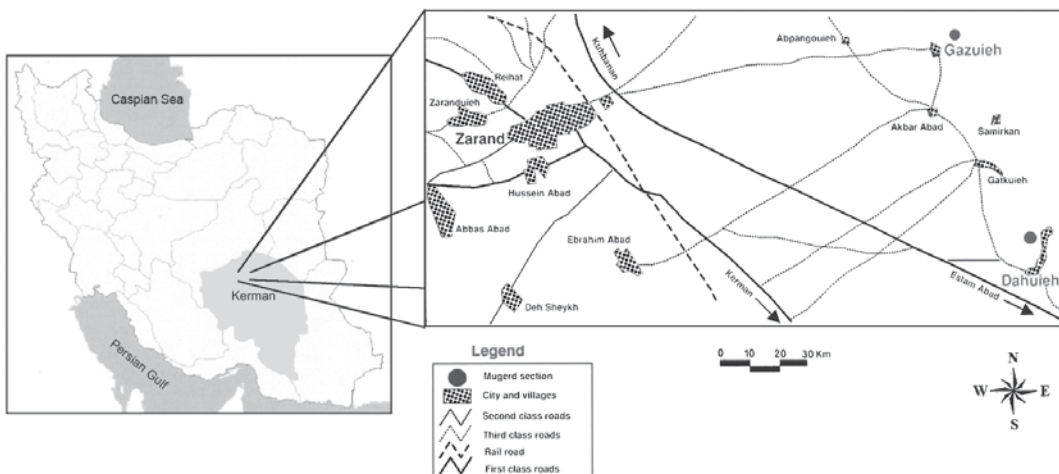
### ۶- مرحله مزوژنر (Mesogenesis Stage)

فرایندهای دیاژنتیکی مؤثر در این مرحله، شامل فرایندهایی می‌شود که در زرفای زیادتر از ۲ کیلومتر صورت می‌گیرد. همچنین افزایش دما (بیشتر از ۷۰ درجه سانتی گراد) و تکامل آب‌های منفذی (Morad et al., 2000) سبب گسترش تغییرات مرحله اتوژنریک می‌شود. در اثر برهم‌کنش آب و رسوب، سیال‌های منفذی (سازندی) اتحال پذیرتر می‌شوند. علاوه بر این، اضافه شدن یون‌هایی از سازنده‌های مجاور، این اتحال پذیری را تحت تأثیر قرار می‌دهد (Wychevly et al., 2003). در این موقع، آب بین حفره‌ای به علت اتحال فشارشی و دگرسانی دانه‌های ناپایدار از امللاح به دست آمده غنی شده و سیمان‌هایی همچون سیمان سیلیسی و دولومیتی در نهشته‌های داهو به وجود آمده است. اتحال فشارشی که در زرفای بیشتر از ۲ کیلومتر رخ می‌دهد (McBride, 1989)، سبب تشکیل همبrij محدب - مقعر و مضرس در این مرحله می‌شود. از این رو غلظت سیلیس در آب‌های بین حفره‌ای بالا رفته و سیمان سیلیسی تشکیل می‌شود. با افزایش فشار در این مرحله استیلولیت‌های هارگه‌های اتحالی نیز متعاقب اتحال فشارشی ایجاد می‌شوند. شکل گرفتن سیمان‌های دولومیتی در طی دیاژنر دفعی و هنگامی که آب‌های درون سازندی از نظر شیمیایی کاهیده هستند، وجود دارد (Reed et al., 2005). به علت این که سیمان‌های دولومیتی به صورت لکه‌ای بین دانه‌های را فرا گرفته‌اند، باید این عمل در حین فشردگی اولیه و پیش از تدفین بسیار ژرف صورت گرفته باشد که کربنات‌های در فضاهای خالی تنشیش شوند. بقایای کلسیت در دولومیت‌ها که تنها در تصاویر SEM مشاهده شده است می‌تواند به علت سن بالای رسوبات و جانشینی کامل دولومیت باشد. به عقیده Mansurbeg et al. (2007)



کلریتی شدن کانی های رسی اولیه و میکاها را آواری در مرحله مزوثرن حاصل شده اند. همچنین فرایندهای سریسیتی شدن به همراه فرایند انحلال چرت ها و فلدسپارها نیز در مرحله مزوثرن صورت گرفته اند. در نهایت تشکیل شکستگی ها و رگه های پر شده با کلسیت در طی مراحل نهایی دیاژنر (تلوزن) و بر اثر بالا آمدگی و چین خوردن رسوبات سازند داهو حاصل شده است. امید است که داده های به دست آمده بتواند در تفسیر تاریخچه پس از رسوبگذاری سازند های مشابه مورد استفاده قرار گیرد که نتیجه عملکرد سیال ها بر روی رخساره های سیلیسی آواری در اوائل پالئوزویک را نشان می دهد.

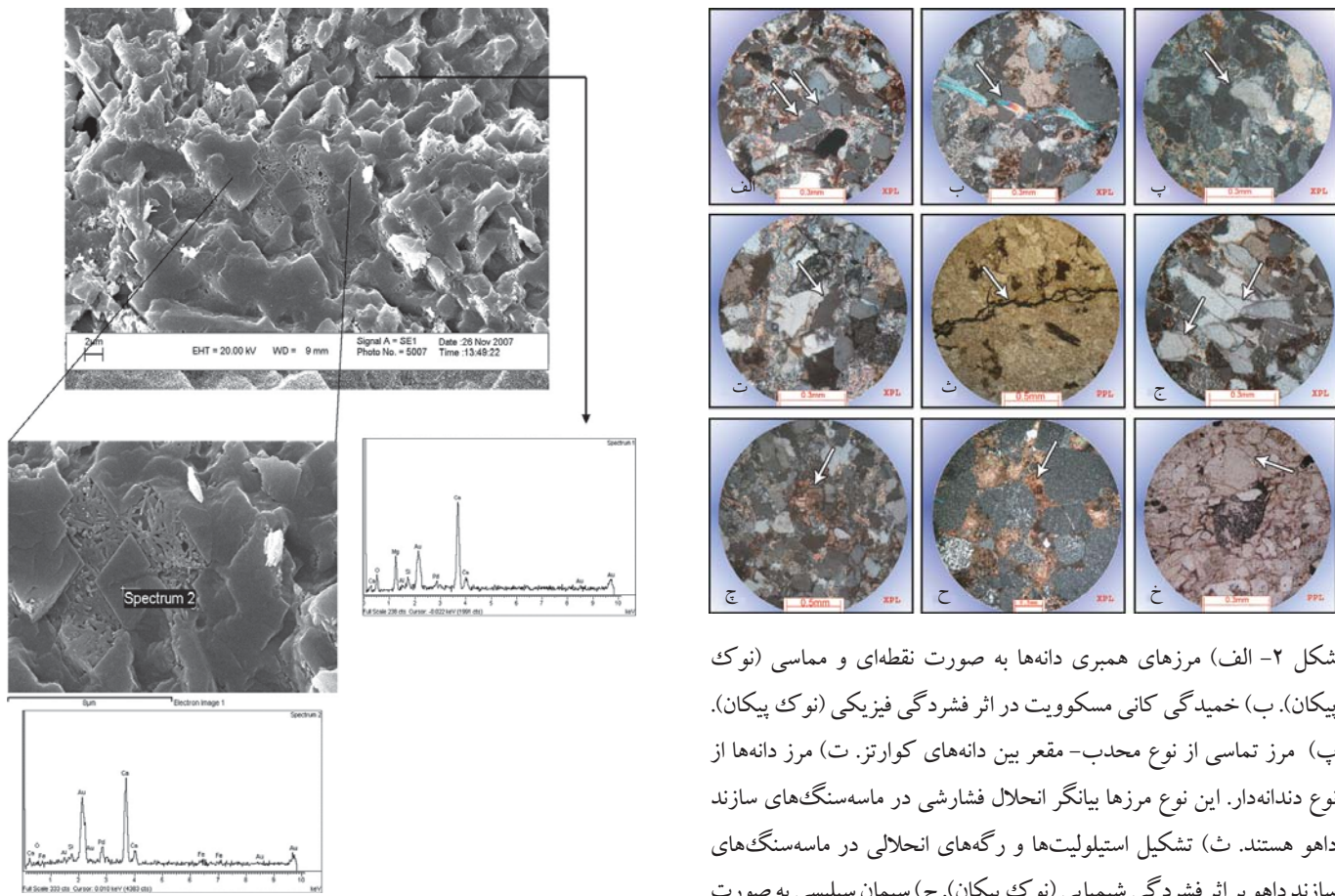
سیمان شدگی، دگرسانی، انحلال، شکستگی ها و رگه های پرشده است. فرایند فشردگی در نهشته های سازند داهو به دو صورت فیزیکی (آرایش نزدیک دانه ها و خمیس کانی های نرم) و شیمیایی (انحلال فشارشی و استیلویلت) بوده که به ترتیب در مراحل ائوژن و مزوژن عمل کرده اند. سیمان های شناسایی شده شامل سیمان هماتیتی، رسی، سیلیسی و دولومیتی است که از این میان تنها بخشی از سیمان هماتیتی در مرحله ائوژن و بقیه سیمان ها به مرحله مزوژن تعلق دارند. مطالعه کانی های رسی نهشته های مورد مطالعه، دو گروه رسی ایلیت و کلریت را مشخص می کند. این دو گروه رسی طی فرایند ایلیتی شدن و



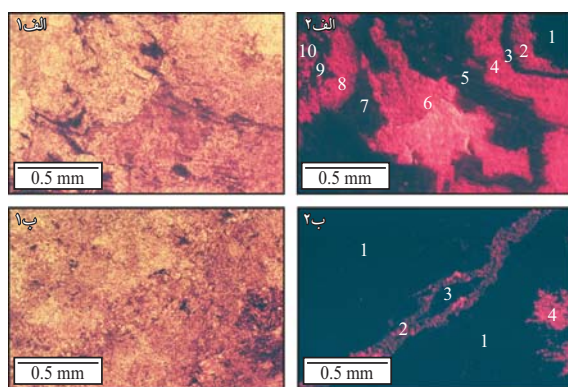
شکل ۱- موقعیت جغرافیایی ناحیه مورد مطالعه. نوک پیکان موقعیت دو برش سازند داهو را نشان می دهد.

جدول ۱- توالی پارازنیکی نهشته های سیلیسی آواری سازند داهو

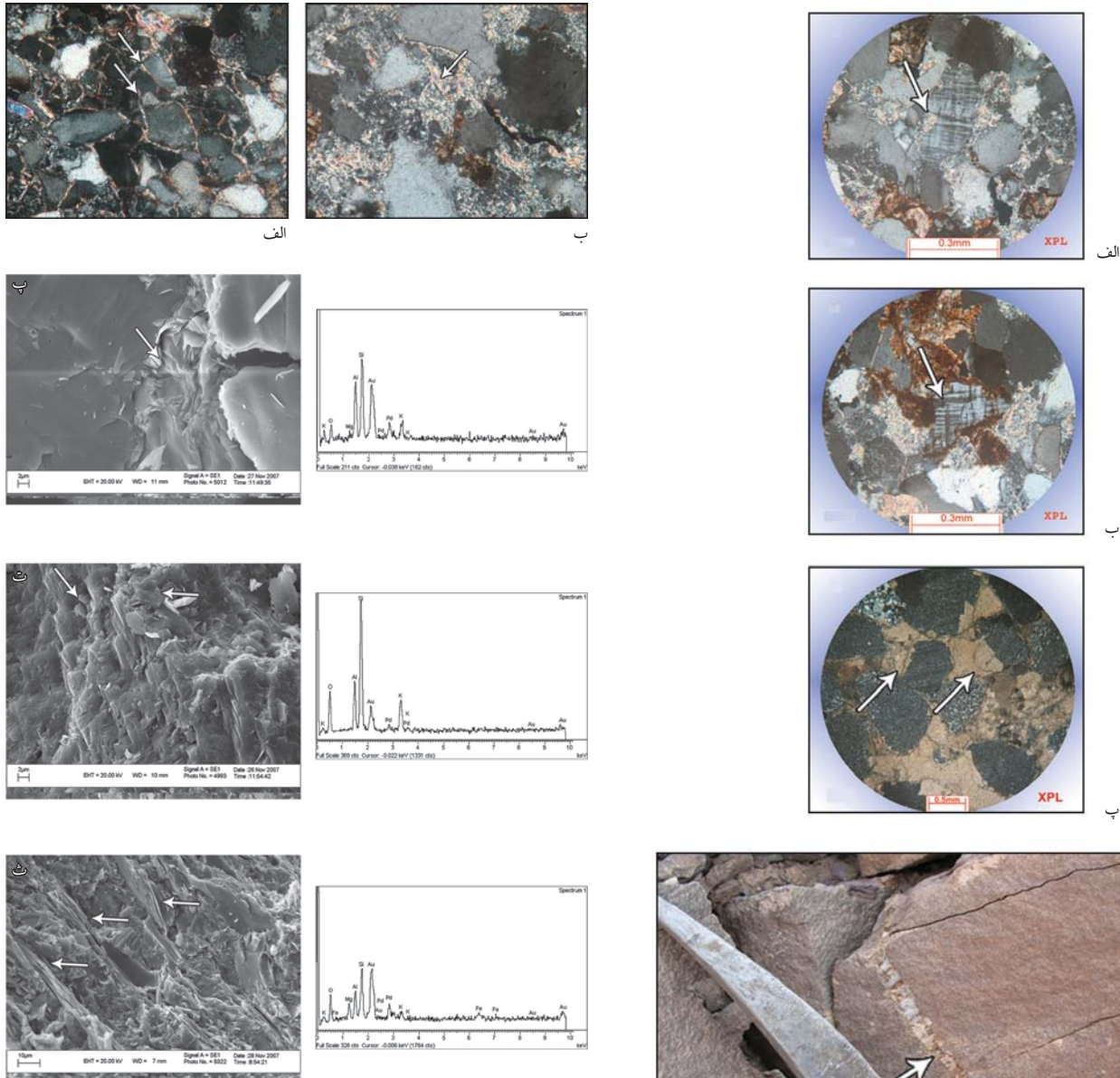
| DEAGENETIC PROCESSES | TIME                         |              |              |
|----------------------|------------------------------|--------------|--------------|
|                      | EO GENESIS                   | MESO GENESIS | TELO GENESIS |
| PHYSICAL COMPACTION  | { Close packing<br>Bent mica | -----        | -----        |
| CHEMICAL COMPACTION  | { Pressure<br>Stylolite      | -----        | -----        |
| QUARTZ CEMENT        | { Porefilling<br>Overgrowth  | -----        | -----        |
| DOLOMITE             | -----                        | -----        | -----        |
| HEMATITE CEMENT      | -----                        | -----        | -----        |
| CLAY CEMENT          | -----                        | -----        | -----        |
| SERICITIZATION       | -----                        | -----        | -----        |
| ILITIZATION          | -----                        | -----        | -----        |
| CHLORITIZATION       | -----                        | -----        | -----        |
| DISSOLUTION          | -----                        | -----        | -----        |
| VEIN FILLING         | -----                        | -----        | -----        |
| FRACTURING           | -----                        | -----        | -----        |



شکل ۲- (الف) مرزهای همیری دانه‌ها به صورت نقطه‌ای و مماسی (نوک پیکان). (ب) خمیدگی کانی مسکوویت در اثر فشردگی فیزیکی (نوک پیکان). (پ) مرز تماسی از نوع محدب-مقعر بین دانه‌های کوارتز. (ت) مرز دانه‌ها از نوع دندانه‌دار. این نوع مرزها بیانگر انحلال فشارشی در ماسه‌سنگ‌های سازند داهو است. (ث) تشکیل استیلویلت‌ها و رگه‌های انحلالی در ماسه‌سنگ‌های سازند داهو بر اثر فشردگی شیمیایی (نوک پیکان). (ج) سیمان سیلیسی به صورت پرکننده حفره‌ها و رورشده (نوک پیکان). (چ) سیمان دولومیتی همراه با لایه‌های اکسید آهن در ماسه‌سنگ‌های سازند داهو (نوک پیکان). (ح) سیمان دولومیتی بین قلوه‌های چرتی کنگلومرای قاعده سازند داهو (نوک پیکان). (خ) سیمان همانیتی سرخ رنگ که اطراف اغلب دانه‌های ماسه‌سنگی را پوشیده است.



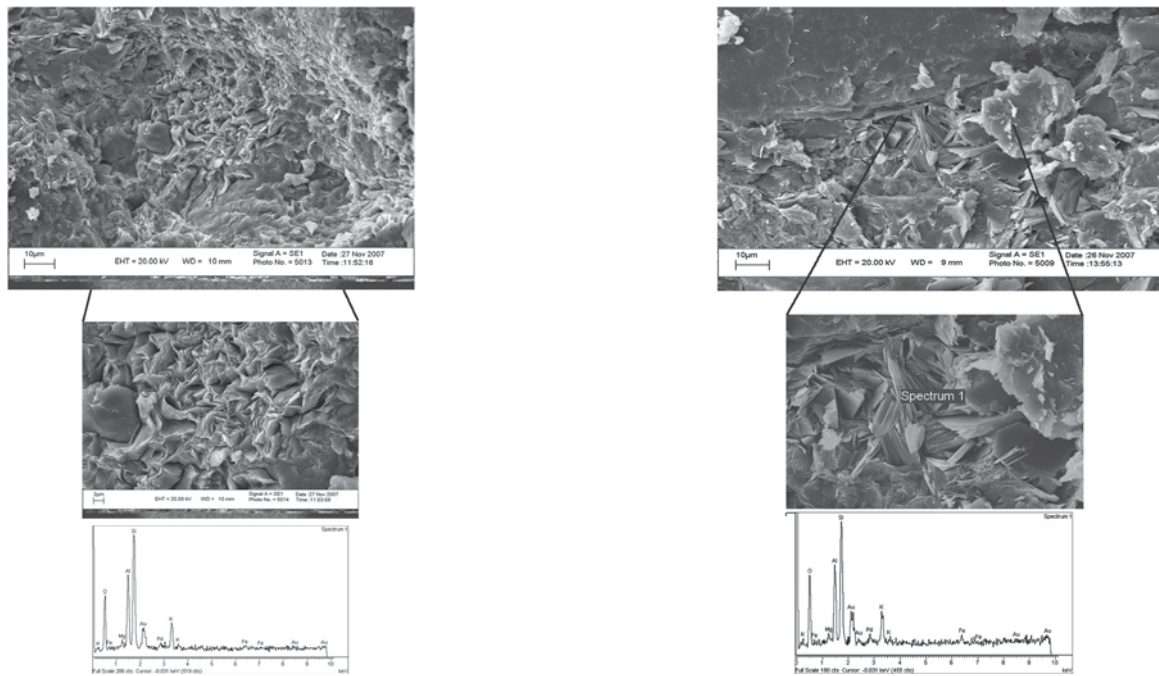
شکل ۴- تصاویر کاتودولومینسانس از سیمان‌های دولومیتی در کنگلومراهای سازند داهو. تصاویر سمت راست مربوط به کاتودولومینسانس همان نمونه است. فازهای مختلف سیمان شدگی با شماره بر روی هر تصویر نمایش داده شده است. اغلب سیمان‌های دولومیتی سازند داهو در فازهای مختلف سیمان شدگی تشکیل شده‌اند.



شکل ۶-الف) رس های نفوذی در مقاطع نازک میکروسکوپی (نوک پیکان).  
ب) رس های زمینه ای در جزاء در مقاطع نازک میکروسکوپی نمی توان این رس ها را از هم تمیز داد. پ) رس های نفوذی در تصویر SEM. تجزیه EDX ایلیت بودن این رس ها را نشان می دهد (نوک پیکان). ت) تجزیه فلدسپار پتانسیم دار در تصویر SEM. رس های تشکیل شده در بین رخ ها و اطراف این دانه ها اغلب ایلیت است (نوک پیکان). تجزیه EDX مربوط به فلدسپار پتانسیم است. ث) نمونه گلشنگی از نهشته های سیلیسی آواری سازند داهو. به قرار گرفتن رس ها در بین لایه های میکا توجه شود. به احتمال زیاد تجزیه میکاهای در گلشنگ ها محتمل ترین فرایند تشکیل کانی های رسی است. تجزیه EDX مربوط به میکاهای آواری (نوک پیکان) است.

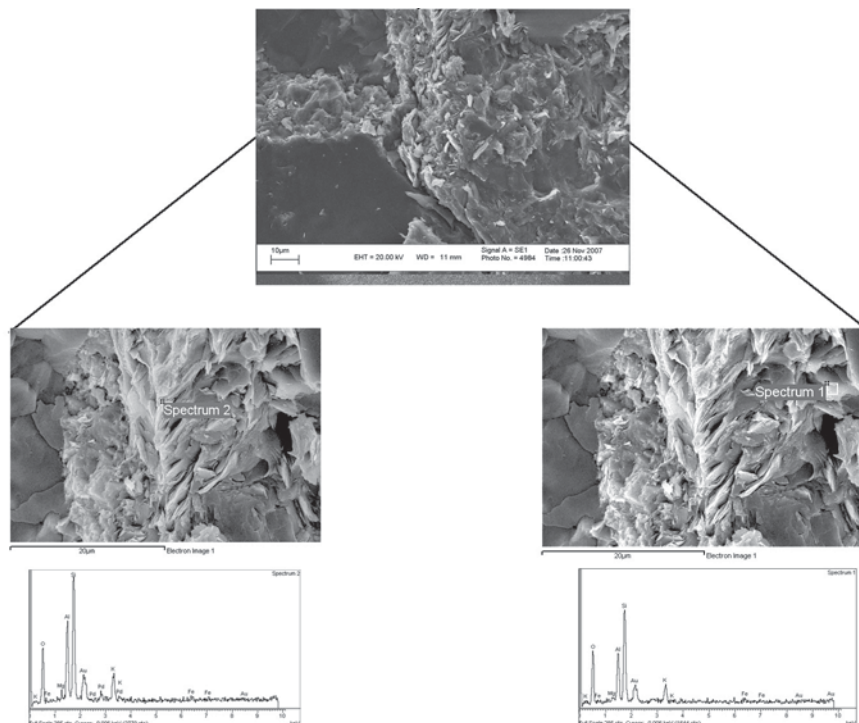


شکل ۵-آثار دگرسانی در نهشته های سیلیسی آواری سازند داهو. الف) دگرسانی میکروکلین به کانی های رسی و سریسیت (نوک پیکان). ب) انحلال فلدسپار و جانشینی سیمان دولومیتی در آن (نوک پیکان). پ) انحلال قلوه های چرتی و جانشینی دولومیت. نوک پیکان نشان دهنده مرز دانه است. ت) فراخاست رسوبات سبب ایجاد شکستگی ها و رگه های پر شده با کلسیت شده است (نوک پیکان).

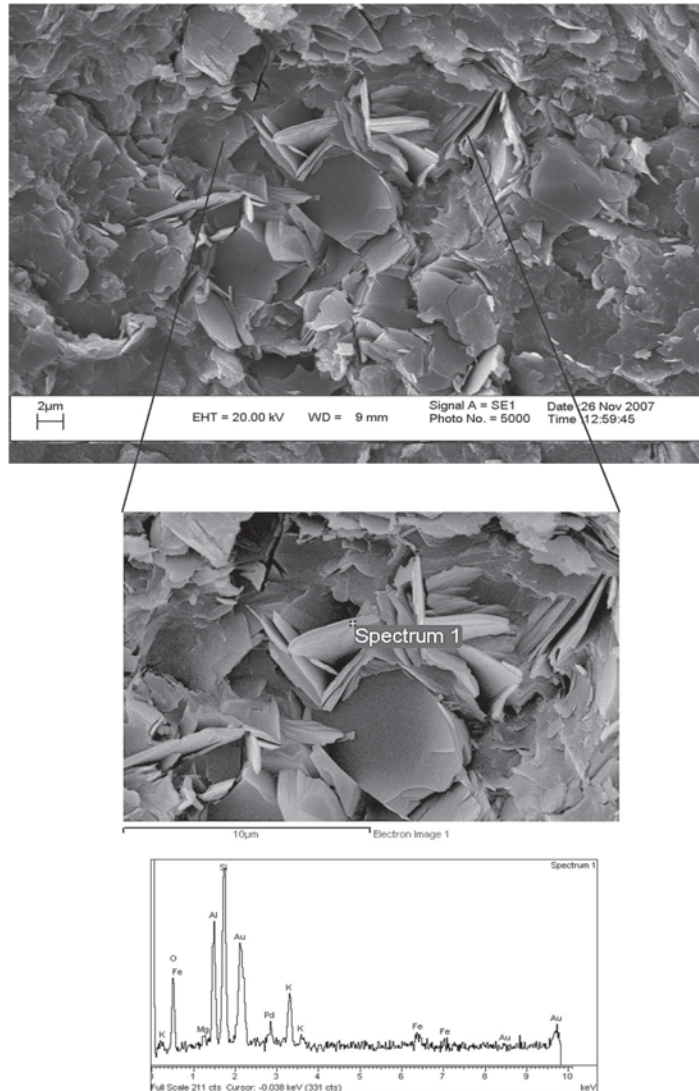


شکل ۸- رس های در چهار زمینه ای که در فضاهای خالی شکل گرفته اند. تجزیه EDX نشان می دهد که این رس ها از نوع ایلیت هستند. به وجود دار بودن این رس ها توجه شود.

شکل ۷- رس های زمینه ای. این رس ها در اثر عامل حمل و نقل یا شکسته شدن خرد سنج ها در بین دانه ها حاصل شده اند. به نامنظم بودن این رس ها توجه شود. تجزیه EDX بیانگر ایلیتی بودن این رس هاست.



شکل ۹- ساختارهای مختلف الواری (Spectrum 2) و هگزاگونال دروغین (Spectrum 1) کانی ایلیت که در دمای بالا تشکیل شده اند.



شکل ۱۰- رس های در جازاد تجزیه EDX و ساختار گل سرخی این کانی بازتاب کلریت بودن آنهاست. این رس ها به طور پراکنده و به مقادیر اندکی در ماسه سنگ های سازند داهو وجود دارند.

### کتابخانه

موسوی حرمی، ر.، محبوبی، ا.، خردمند، ع.، زندمقدم، ح.، (زیر چاپ). تجزیه رخساره های سنگی و سیکل های به طرف بالا ریز شونده در نهشته های سیلیسی آواری سازند داهو (کامبرین پیشین)، واقع در خاور و جنوب خاور زرنده، شمال باخته کرمان. فصلنامه علوم زمین.

### References

- Al-Ramadan, K. A., Hussain, M., Imam, B. & Saner, S., 2004- Lithologic characteristics and diagenesis of he Devonian Jauf sandstone at Ghawar Field, eastern Saudi Arabia. *Marine and Petroleum Geology*, 21,1221–1234.



- Baron, M. & Parnell, J., 2007- Relationships between stylolites and cementation in sandstone reservoirs: Examples from the North Sea, U. K. and East Greenland. *Sedimentary Geology*, 194, 17–35.
- Bauer A., Velde, B. & Berger G., 1998- Kaolinite transformation in high molar KOH solutions. *Applied Geochemistry*, 13, 619-629.
- Bernet, M. & Bassett, K., 2005- Provenance analysis by single quartz- grain SEM-CL/Optical microscopy. *Journal of Sedimentary Research*, 75, 492-500.
- Cooke, M. L., Simo, J. A., Underwood, C. A. & Rijken, P., 2006- Mechanical stratigraphic controls on fracture patterns within carbonates and implications for groundwater flow. *Sedimentary Geology*, 184, 225-239.
- Cuadros, J., 2006- Modeling of smectite illitization in burial diagenesis environments, *Geochemical Cosmochimica Acta*, 70, 4181-4195.
- Dickson, J.A.D., 1966- Carbonate identification and genesis as revealed by staining. *Journal of Sedimentary Petrology*, 36, 441-505.
- Ehrenberg S. N., Aagaard P., Wilson M. J., Fraser A. R. & Duthie D. M. L., 1993- Depth-dependent transformation of kaolinite to dickite in sandstones of the Norwegian continental shelf. *Clay Minerals*, 28, 325-352.
- Einsele, G., 2000- *Sedimentary Basin Evolution, Facies and Sediment Budget*. (2nd edition), Springer-Verlag, 792p.
- Hathon, L. A. & Houseknecht, D. W., 1992- Origin and diagenesis of clay minerals in the Oligocene Sespe Formation, Ventura basin. In: Houseknecht, D. W. and Pittman, E. D. (Eds.), *Origin, Diagenesis, and Petrophysics of Clay Minerals in Sandstones*. SEPM Special Publication, 47, 185-195.
- Hemming, N. G., Meyers, W. J. & Grams, J. C. 1989- Cathodoluminescence in diagenetic calcites: The roles of Fe and Mn as deduced from electron probe and spectrophotometric measurement. *Journal of Sedimentary Petroleum*, 59, 404-411.
- Hood, S. D., Nelson, C. S. & Kamp, P. J. J., 2004- Burial dolomitisation in on-tropical carbonate petroleum reservoir: the Oligocene Tikorangi Formation Taranaki Basin, New Zealand. *Sedimentary Geology*, 172, 117–138.
- Ingersoll, R. V., Bullard, T. F., Ford, R. L., Grimm, J. P., Pickle, J. D. & Sares, S.W., 1984- The effect of grain size on detrital modes: A test of the Gazzi-Dickinson point – counting method., *Journal of Sedimentary Petrology*, 54, 0103-0116.
- Jimenez-Espinosa, R. & Jimenez-Millan, J., 2003- Calcrete development in Mediterranean colluvial carbonate systems from SE Spain. *Journal of Arid Environments*, 53, 479-489.
- Kay, M.A., Main, I.G., Elphick, S.C. & Ngwenya, B.T., 2006- Fault gouge diagenesis at shallow burial depth: Solution–precipitation reactions in well-sorted and poorly sorted powders of crushed sandstone. *Earth and Planetary Science Letters*, 243, 607–614.
- Kim, J. C., Lee, Y. I., & Hisada, K., 2007- Depositional and compositional controls on sandstone diagenesis, the Totori Group (Middle Jurassic–Early Cretaceous), Central Japan. *Sedimentary Geology*, 195, 183–202.
- Lanson, B., Beaufort, D., Berger, G., Bauer, A., Cassagnabere, A. & Meunier, A., 2002- Authigenic kaolin and illitic minerals during burial diagenesis of sandstones: a review. *Clay Mineralogy*, 37, 1-22.
- Lanson, B., Beaufort, D., Berger, J. & Lacharpagne, J. C., 1996- Late stage diagenesis of clay minerals in porous rocks: Lower Permian Rotliegendas reservoir off-shore of the Netherlands. *Journal of Sedimentary Research*, 66, 501-518.
- Mansurbeg, H., Morad, S., Salem, A., Marfil, R., El-ghali, M. A. K., Nystuen, J.P., Caja, M. A., Amorosi, A., Garcia, D. & La Iglesia, A. 2007- Diagenesis and reservoir quality evolution of palaeocene deep-water, marine sandstones, the Shetland-Faroes Basin, British continental shelf. *Marine and Petroleum Geology*, in press.
- McBride, E. F., 1989- Quartz cement in sandstones: a review. *Earth Science Reviews*, 26, 69-112.
- Molennar, N., Cyzine, J. & Sliaupa, S. 2006- Quartz cementation mechanisms and porosity variation in Baltic Cambrian



- sandstones. *Sedimentary Geology*, xx, 1-25.
- Morad, S., Ketzar, J.M. & Ros, L. F., 2000- Spatial and temporal distribution of diagenetic alteration in siliciclastic rocks: Implications for mass transfer in sedimentary basins. *Sedimentology*, 47, 95-120.
- Moraes, M. A. & De Ros, L. F., 1992- Depositional, infiltrated and authigenic clays in fluvial sandstone of the Jurassic Sergi Formation, Reconcavo basin, northeastern Brazil. In: Houseknecht, D. W. and Pittman , E. D. (Eds.), *Origin, Diagenesis, and Petrophysics of Clay Minerals in Sandstones*. SEPM Special Publication,47, 197-208.
- Mork, M. B. E. & Moen, K. 2007- Compaction microstructures in quartz grains and quartz cement in deeply buried reservoir sandstones using combined petrography and EBSD analysis. *Journal of Structural Geology*, xx, 1-12.
- Moussavi-Harami, R. & Brenner, R. L., 1993- Diagenesis of nonmarine petroleum reservoirs: The Neocomian (Lower Cretaceous) Shurijeh Formation, Kopet-Dagh Basin, NE Iran. *Journal of Petroleum Geology*, 16, 55-72.
- Osborne, M., Hazelding, R. S. & Fallick, A. E., 1994- Variation in Kaolinite morphology with growth temperature in isotopically mixed pore-fluids, Brent group, UK North Sea. *Clay Minerals*, 29, 591-608.
- Parcerisa, D., Gomez-Gras, D., Trave, A., Martin-Martin, J. D. & Maestro, E., 2006- Fe and Mn in calcites cementing red beds: a record of oxidation-reduction conditions examples from the Catalan Coastal Ranges (NE Spain). *Journal of Geochemical Exploration*, 89, 318-321.
- Platt, J. D., 1993- Controls on clay mineral distribution and chemistry in the early Permian Rotliegend of Germany. *Clay Minerals*, 28, 393-416
- Purvis, K., 1995- Diagenesis of Lower Jurassic sandstones, Block 211/13 (Penguin area), UK northern North Sea. *Marine and Petroleum Geology*, 12, 219-228.
- Reed, J. S., Eriksson, K. A. & Kowalewski, M., 2005- Climate, depositional and burial controls on diagenesis of Appalachian Carboniferous Sandstones: qualitative and quantitative methods. *Sedimentary Geology*, 176, 225-246.
- Sanyal, P., Bhattacharya, S. K. & Prasad, 2005- Chemical diagenesis of Siwalik sandstone: Isotopic and mineralogical proxies from Surai Khola section, Nepal. *Sedimentary Geology*, 180, 57-74.
- Schmid, S., Worden, R. H. & Fisher, Q. J., 2004- Diagenesis and reservoir quality of the Sherwood Sandstone (Triassic), Corrib Field, Slyne Basin, west of Ireland. *Marine and Petroleum Geology*, 21, 299-315.
- Tucker, M. E. & Wright, V.P., 1991- *Carbonate Sedimentology*. Blackwell, Oxford, 482p.
- Tucker, M. E., 2001- *Sedimentary Petrology*. Third Edition, Blackwell, Oxford, 260p.
- Weber, J. & Ricken, W., 2005- Quartz cementation and related sedimentary architecture of the Triassic Solling Formation, Reinhardswald Basin, Germany. *Sedimentary Geology*, 175, 459-477.
- Wolela, A. M. & Gierlowski-Kordesch, E. H, 2007- Diagenetic history of fluvial and lacustrine sandstones of the Hartford Basin (Triassic–Jurassic), Newark Supergroup, USA. *Sedimentary Geology*, 197, 99–126.
- Worden, R. H., & Morad, S, 2000- Quartz cementation in oil field sandstones: a review of the key controversies. In: Worden, R., Morad, S. (Eds.), *Quartz Cementation in Sandstones*. International Association of Sedimentologists, Special Publication,29, 1-20.
- Wycherley, H. L., Parnell, J., Watt, G. R., Chen, H. & Boyce, A. J., 2003- Indicators of hot fluid migration in sedimentary basins: evidence from the UK Atlantic Margin. *Petroleum Geoscience* 9, 357–374.